

Warszawa, dn. 2024-03-10

T-Mobile Polska S.A.  
ul. Marynarska 12  
02-674 Warszawa

Pełnomocnik: [REDACTED]  
Pełnomocnictwo numer: 159/01/21

z dnia: 2021-01-13

**dane do korespondencji:**

**NetWorks Sp. z o.o.**  
ul. Józefa Piłsudskiego 3  
00-728 Warszawa  
tel. 506401236

**Prezydent Miasta Białystok**  
**Urząd Miejski w Białymstoku**  
**ul. Słonimska 1**  
**15-950 Białystok**

**Dotyczy:** ustawowego obowiązku, wynikającego z art. 152 ust. 1 i ust. 7 w związku z ust. 6 pkt 1c ustawy z dnia 27 kwietnia 2001r – Prawo ochrony środowiska (Dz.U. 2024 poz. 54).

Działając z upoważnienia T-Mobile Polska S.A. z siedzibą ul. Marynarska 12, 02-674 Warszawa, informuję o zmianie danych w zakresie wielkości i rodzaju emisji dla instalacji radiokomunikacyjnej **24312 (96077N!) WBI\_BIALYSTOK\_ALJANAPAWLA54** zlokalizowanej w miejscowości BIAŁYSTOK, ALEJA JANA PAWŁA II 54. W stosunku do informacji zawartej w zgłoszeniu realizowanym dla tej instalacji w trybie art. 152 ust. 1 i 5 ustawy z dnia 27 kwietnia 2001r – Prawo ochrony środowiska (Dz.U. 2024 poz. 54), dane ulegają zmianie w następujący sposób:

**9. Wielkość i rodzaj emisji<sup>2)</sup>:**

Pole elektromagnetyczne. EIRP poszczególnych anten zostało podane w pkt 12, tj.

Lp.	Równoważna moc promieniowana izotropowo (EIRP) [W]
1.	15289
2.	45293
3.	8676
4.	15289
5.	45293
6.	8676
7.	15289
8.	45293
9.	8676
10.	13/2

**12. Szczegółowe dane, odpowiednio do rodzaju instalacji, zgodne z wymaganiami określonymi w załączniku nr 2 do Rozporządzenia:**

Lp.	1)	2)	3)	4)	5)	
Lp.	Współrzędne geograficzne	Częstotliwość lub zakresy częstotliwości pracy instalacji [MHz]	Wysokość środka elektrycznego anteny [m n.p.t.]	Równoważna moc promieniowana izotropowo (EIRP) [W]	Azymut [°]	Kąt pochylenia lub zakresy kątów pochylenia [°]
1.	23°7'12.3" 53°8'17.5"	900/1800/2100	22.2	15289	33	-3-9/3.5/3.5
2.	23°7'12.2" 53°8'17.6"	3600	22.2	45293	33	-3-9
3.	23°7'12.3" 53°8'17.6"	800/2600	22.2	8676	33	-1-11/2.5
4.	23°7'12" 53°8'17.1"	900/1800/2100	22.2	15289	155	-2-10/3.5/3.5
5.	23°7'12" 53°8'17.1"	3600	22.2	45293	155	-3-9
6.	23°7'12" 53°8'17.1"	800/2600	22.2	8676	155	-1-11/2.5
7.	23°7'11.1" 53°8'17.2"	900/1800/2100	22.2	15289	270	-3-9/3.5/3.5
8.	23°7'11.1" 53°8'17.2"	3600	22.2	45293	270	-3-9
9.	23°7'11.1" 53°8'17.2"	800/2600	22.2	8676	270	-1-11/2.5
10.	23°7'11.1" 53°8'17.2"	38000/38000	20	13/2	223*	nd.

*\*) tolerancja azymutu od -10° do +10°.*

Informuję, iż dokonane zmiany w zakresie wielkości i rodzaju emisji przedmiotowej instalacji nie powodują zmiany instalacji w sposób istotny zgodnie z art. 3 pkt 7 ustawy Poś.

W załączniku przesyłam:

1. Pełnomocnictwo
2. Kopia potwierdzenia wniesienia opłaty skarbowej.

Otrzymują:

1. a/a
2. adresat



Warszawa, dn. 2024-04-03

T-Mobile Polska S.A.  
ul. Marynarska 12  
02-674 Warszawa

Pełnomocnik: [REDACTED]  
Pełnomocnictwo numer: 159/01/21

z dnia: 2021-01-13

**dane do korespondencji:**

**NetWorks Sp. z o.o.**  
ul. Józefa Piusa Dziekońskiego 3  
00-728 Warszawa  
tel. 506401236

**Prezydent Miasta Białystok**  
**Urząd Miejski w Białymstoku**  
**ul. Słonimska 1**  
**15-950 Białystok**

W nawiązaniu do wniosku z dn. 10.03.2024 r. dot. ustawowego obowiązku, wynikającego z art. 152 ust. 1 i ust. 7 w związku z ust. 6 pkt 1c ustawy z dnia 27 kwietnia 2001r – Prawo ochrony środowiska (Dz.U. 2024 poz. 54) dla instalacji radiokomunikacyjnej **24312 (96077N!)** **WBI\_BIALYSTOK\_ALJANAPAWLA54** zlokalizowanej w miejscowości BIAŁYSTOK, ALEJA JANA PAWŁA II 54, wnoszę o korektę do treści w nim zawartych.

W tabeli zamieszczonej w piśmie błędnie podano dane anten radiolinii . Mając powyższe na uwadze przedstawiam poprawne brzmienie pkt.9 i pkt. 12.

**9. Wielkość i rodzaj emisji<sup>2)</sup>:**

Pole elektromagnetyczne. EIRP poszczególnych anten zostało podane w pkt 12, tj.

Lp.	Równoważna moc promieniowana izotropowo (EIRP) [W]
1.	15289
2.	45293
3.	8676
4.	15289
5.	45293
6.	8676
7.	15289
8.	45293
9.	8676
10.	2
11.	13

**12. Szczegółowe dane, odpowiednio do rodzaju instalacji, zgodne z wymaganiami określonymi w załączniku nr 2 do Rozporządzenia:**

Lp.	1)	2)	3)	4)	5)	
	Współrzędne geograficzne	Częstotliwość lub zakresy częstotliwości pracy instalacji [MHz]	Wysokość środka elektrycznego anteny [m n.p.t.]	Równoważna moc promieniowana izotropowo (EIRP) [W]	Azymut [°]	Kąt pochylenia lub zakresy kątów pochylenia [°]
1.	23°7'12.3" 53°8'17.5"	900/1800/2100	22.2	15289	33	-3-9/3.5/3.5
2.	23°7'12.2" 53°8'17.6"	3600	22.2	45293	33	-3-9
3.	23°7'12.3" 53°8'17.6"	800/2600	22.2	8676	33	-1-11/2.5
4.	23°7'12" 53°8'17.1"	900/1800/2100	22.2	15289	155	-2-10/3.5/3.5
5.	23°7'12" 53°8'17.1"	3600	22.2	45293	155	-3-9
6.	23°7'12" 53°8'17.1"	800/2600	22.2	8676	155	-1-11/2.5
7.	23°7'11.1" 53°8'17.2"	900/1800/2100	22.2	15289	270	-3-9/3.5/3.5
8.	23°7'11.1" 53°8'17.2"	3600	22.2	45293	270	-3-9
9.	23°7'11.1" 53°8'17.2"	800/2600	22.2	8676	270	-1-11/2.5
10.	23°7'11.1" 53°8'17.2"	38000	21,2	2	212*	nd.
11.	23°7'11.1" 53°8'17.2"	38000	20	13	223*	nd.

\*J) tolerancja azymutu od -10° do +10°.

Otrzymują:

1. a/a
2. adresat





NetWorks Sp. z o.o.  
Laboratorium Badań Środowiskowych  
ul. Józefa Piusa Dziekońskiego 3  
00-728 Warszawa  
e-mail: [Laboratorium@networks.pl](mailto:Laboratorium@networks.pl)



AB 419

S P R A W O Z D A N I E 2643/2023/OS  
Z POMIARÓW PÓL ELEKTROMAGNETYCZNYCH  
WYKONANYCH DLA POTRZEB OCHRONY ŚRODOWISKA

Badany obiekt: Instalacja radiokomunikacyjna T-Mobile Polska S.A.  
Numer i nazwa: 24312 (96077N!) WBI\_BIAŁYSTOK\_ALJANAPAWLA54  
Adres: BIAŁYSTOK, ALEJA JANA PAWŁA II 54, Powiat m. Białystok, WOJ. PODLASKIE

Data wykonania pomiarów: 2024-03-22

\* Sprawozdanie z badań bez pisemnej zgody laboratorium nie może być powielane inaczej niż w całości.  
Wynik przedstawione w niniejszym sprawozdaniu odnoszą się wyłącznie do badanego obiektu i do warunków i konfiguracji urządzeń w dniu wykonywania pomiarów.

**1. Właściciel badanego obiektu:**

T-Mobile Polska S.A., ul. Marynarska 12, 02-674 Warszawa

**2. Zleceniodawca:**

T-Mobile Polska S.A., ul. Marynarska 12, 02-674 Warszawa

**3. Przedstawiciel zleceniodawcy:**

NetWorks Sp. z o.o.

**4. Zakres zlecenia:**

Wykonanie badania i opracowanie sprawozdania z pomiarów natężenia pola elektrycznego i pola magnetycznego dla instalacji radiokomunikacyjnej T-Mobile Polska S.A. zlokalizowanej w miejscowości BIAŁYSTOK, ALEJA JANA PAWŁA II 54.

**5. Cel zlecenia:**

Wykonanie pomiarów pól elektromagnetycznych w otoczeniu instalacji radiokomunikacyjnej 24312 (96077N!) WBI\_BIALYSTOK\_ALJANAPAWLA54 w odniesieniu do wymagań określonych w *Rozporządzeniu Ministra Klimatu z dnia 17 lutego 2020 r. w sprawie sposobów sprawdzania dotrzymania dopuszczalnych poziomów pól elektromagnetycznych w środowisku (Dz.U. 2022 poz. 2630)*.

**6. Pomiary zostały wykonane przez:**



**7. Informacje o źródłach pól elektromagnetycznych**

**7.1. Sposób identyfikacji badanych źródeł pól elektromagnetycznych**

Identyfikacji źródeł i parametrów technicznych dokonano na podstawie analizy dokumentacji dotyczącej zlecenia oraz obserwacji miejsca wykonywania badań.

**7.2. Opis miejsca zainstalowania anten i urządzeń technicznych. Opis obiektu badań i jego otoczenia**

Instalacja radiokomunikacyjna zlokalizowana jest na dachu. Anteny zawieszono na masztach usytuowanych na dachu budynku. Urządzenia sterujące oraz zasilające zainstalowano w szafie outdoor na dachu budynku. Wokół instalacji znajduje się miasto.

Instalacja radiokomunikacyjna jest obiektem bezobsługowym. Okresowe stanowiska pracy związane są z prowadzonymi w zależności od potrzeb konserwacjami, przeglądami, strojeniem i naprawami.

Sprawozdanie z badań bez pisemnej zgody laboratorium nie może być powielane inaczej niż w całości.  
Wynik przedstawione w niniejszym sprawozdaniu odnoszą się wyłącznie do badanego obiektu i do warunków i konfiguracji urządzeń w dniu wykonywania pomiarów.

### 7.3. Parametry techniczne źródła pola elektromagnetycznego

Dane przedstawiające maksymalne parametry pracy instalacji przekazane przez zleceniodawcę:

Parametry systemu nadawczo-odbiorczego:

Charakterystyka promieniowania		kierunkowa					
Rzeczywisty czas pracy [h/dobę]		24					
Warunki pracy		znamionowe					
Rodzaj wytwarzanego pola		stacjonarne					
Lp.	Częstotliwość lub zakresy częstotliwości pracy [MHz]	Typ/producent anteny	liczba anten	Azymut [°]	kąt pochylenia [°]	Wysokość środka elektrycznego anteny [m n.p.t.]	Równoważna moc promieniowana izotropowo (EIRP) [W]
1	900/1800/2100	ATR4518R13v06 Huawei	1	33	-3-9**/3.5*/3.5*	22.2	15289
2	3600	AQQQ NSN	1	33	-3-9**	22.2	45293
3	800/2600	ATR4518R13 Huawei	1	33	-1-11**/2.5*	22.2	8676
4	900/1800/2100	ATR4518R13v06 Huawei	1	155	-2-10**/3.5*/3.5*	22.2	15289
5	3600	AQQQ NSN	1	155	-3-9**	22.2	45293
6	800/2600	ATR4518R13 Huawei	1	155	-1-11**/2.5*	22.2	8676
7	900/1800/2100	ATR4518R13v06 Huawei	1	270	-3-9**/3.5*/3.5*	22.2	15289
8	3600	AQQQ NSN	1	270	-3-9**	22.2	45293
9	800/2600	ATR4518R13 Huawei	1	270	-1-11**/2.5*	22.2	8676

\* wskazane wartości kąta pochylenia anten, zgodnie z informacją uzyskaną od zleceniodawcy, są wartościami stałymi

\*\* pomiary wykonano zgodnie z pkt 13., ppkt 2 załącznika do Rozporządzenia Ministra Klimatu z dnia 17 lutego 2020 r. (Dz. U. 2022, poz. 2630).

Parametry radiolinii:

Charakterystyka promieniowania		kierunkowa					
Rzeczywisty czas pracy [h/dobę]		24					
Warunki pracy		znamionowe					
Rodzaj wytwarzanego pola		stacjonarne					
Lp.	Linia radiowa			Antena			
	Typ/Producent	Częstotliwość pracy [GHz]	Równoważna moc promieniowana izotropowo (EIRP) [W]	Typ/producent	Średnica anteny [m]	Azymut [°]	Wysokość zainstalowania n.p.t [m]
1.	Ericsson CN510 RAU2X Harris Stratex	38	2	ANT3_0.3 38 HP Ericsson	0.3	212	21.2
2.	ERICSSON CN510 6363 Harris Stratex	38	13	ANT3_0.3 38 HP/HPX Ericsson	0.3	223	20

### 7.4 Inne źródła pól elektromagnetycznych

Na podstawie informacji otrzymanych od użytkownika oraz obserwacji otoczenia miejsca wykonywania pomiarów stwierdzono występowanie innych źródeł pola-EM, pracujących w systemie: telefonii komórkowej (800MHz-2600MHz), linii radiowych (5GHz – 90GHz), które istotnie wpływają na wyniki pomiarów.

Sprawozdanie z badań bez pisemnej zgody laboratorium nie może być powielane inaczej niż w całości.  
 Wynik przedstawione w niniejszym sprawozdaniu odnoszą się wyłącznie do badanego obiektu i do warunków i konfiguracji urządzeń w dniu wykonywania pomiarów.

## 8. Opis pomiarów

### 8.1. Metoda badań

Zgodna z rozporządzeniem Ministra Klimatu z dnia 17 lutego 2020 r. w sprawie sposobów sprawdzania dotrzymania dopuszczalnych poziomów pól elektromagnetycznych w środowisku (Dz.U. 2022 poz. 2630), określona w pkt 25 ppkt 1 załącznika do niniejszego rozporządzenia.

### 8.2. Termin pomiarów i warunki środowiskowe

Podczas wykonywania pomiarów pól elektromagnetycznych nie występowały opady atmosferyczne. Wyniki pomiaru parametrów pogodowych przedstawia poniższa tabela:

Data [rrrr-mm-dd]	Godzina [hh:mm-hh:mm]	Warunki środowiskowe			
		Temperatura [°C]		Wilgotność względna [%]	
2024-03-22	11:05-12:35	Przed pomiarem	Po pomiarach	Przed pomiarem	Po pomiarach
		7.9	8.2	68.0	66.4

Przedstawione wyżej warunki środowiskowe, występujące podczas wykonywania pomiarów pól elektromagnetycznych, są zgodne ze specyfikacją techniczną użytego zestawu pomiarowego.

### 8.3. Warunki pracy urządzeń nadawczych

Podczas pomiarów w przypadku uzyskania wyniku pomiaru szerokopasmowego wykonanego zastosowaną metodą, dla zakresów częstotliwości od 10 MHz do 300 GHz, powiększonego o rozszerzoną niepewność pomiaru U dla współczynnika rozszerzenia  $k = 2$  przekraczającego 70% najniższej dopuszczalnej wartości składowej elektrycznej lub magnetycznej pola dla objętych pomiarami zakresów częstotliwości, uwzględnia się poprawki pomiarowe przekazane przez zleceniodawcę, umożliwiające uwzględnienie maksymalnych parametrów pracy instalacji zgodnie z pkt 7 załącznika do Rozporządzeniem Ministra Klimatu z dnia 17 lutego 2020 r. w sprawie sposobów sprawdzania dotrzymania dopuszczalnych poziomów pól elektromagnetycznych w środowisku (Dz. U. 2022, poz. 2630) zaznaczając, że wymagane jest wykonanie pomiaru z wykorzystaniem miernika selektywnego. W przypadku uzyskania wyniku pomiaru szerokopasmowego wykonanego zastosowaną metodą, dla zakresów częstotliwości od 10 MHz do 300 GHz, powiększonego o rozszerzoną niepewność pomiaru U dla współczynnika rozszerzenia  $k = 2$  nieprzekraczającego 70% najniższej dopuszczalnej wartości składowej elektrycznej lub magnetycznej pola dla objętych pomiarami zakresów częstotliwości, nie uwzględnia się poprawek pomiarowych.

### 8.4. Wyposażenie pomiarowe

Zestaw pomiarowy służący do pomiaru natężenia składowej elektrycznej pola elektromagnetycznego złożony z szerokopasmowego miernika i sondy pomiarowej:

Oznaczenie miernika	Producent	Model	Numer fabryczny	Oznaczenie sondy	Producent	Model	Numer fabryczny
M-20	Narda Safety Test Solution	Miernik pól elektromagnetycznych NBM-550	H-0347	S-21	Narda Safety Test Solution	Sonda pomiarowa Narda EF6092	C-0114

Mierniki natężenia pola elektromagnetycznego podlegają okresowemu sprawdzeniu zgodnie z procedurą wewnętrzną P-03 i PB-01. Świadectwo wzorcowania zestawu pomiarowego z dnia 31 marca 2023 o numerze LWiMP/W/136/23 wydane przez Politechnika Wrocławską.

Data ważności świadectwa wzorcowania: 31 marca 2025 (zgodnie z procedurą wewnętrzną P-03).

#### Termohigrometr:

Oznaczenie:	TH-19	Producent:	AZ INSTRUMENT CORP	Model:	Termohigrometr AZ8706
-------------	-------	------------	--------------------	--------	-----------------------

Data ważności świadectwa wzorcowania: 19 maja 2024 (zgodnie z procedurą wewnętrzną P-03).

#### Dalmierz:

Oznaczenie	Producent	Typ	Numer seryjny	Nr świadectwa wzorcowania	Data świadectwa wzorcowania
D-02	Leica	Dalmierz Leica Disto X310	842350466	1146.6-M11-4180-396/15	8 kwietnia 2015

Data ważności świadectwa wzorcowania: 8 kwietnia 2025 (zgodnie z procedurą wewnętrzną P-03).

Sprawozdanie z badań bez pisemnej zgody laboratorium nie może być powielane inaczej niż w całości.  
Wynik przedstawione w niniejszym sprawozdaniu odnoszą się wyłącznie do badanego obiektu i do warunków i konfiguracji urządzeń w dniu wykonywania pomiarów.



Odbiornik GNSS:

Oznaczenie	Producent	Model	Numer fabryczny
G-04	Stonex	S7-G GIS	S7G4083040010

Odbiorniki podlegają okresowemu sprawdzeniu zgodnie z procedurą wewnętrzną P-03.

## 9. Wyniki pomiarów

### Pole elektryczne

Nr pionu	Opis umiejscowienia pionu (punktu) pomiarowego	Wysokość pomiaru [m]	Zmierzona wartość natężenia pola elektrycznego E [V/m] <sup>1,5</sup>	Wartość natężenia pola elektrycznego powiększona o niepewność pomiaru <sup>4</sup> E [V/m]	Wskaźnikowa wartość poziomu emisji pól elektromagnetycznych WME <sup>3</sup>	Współrzędne geograficzne pionu (punktu) pomiarowego <sup>2</sup>
1	DPP, hotel, piętro 5/5, korytarz, okno otwarte, Al. Jana Pawła II 54	2.0	2.5	3.8	0.13	53°8'17.2" 23°7'12.7"
2	DPP, hotel, piętro 5/5, korytarz, okno otwarte, Al. Jana Pawła II 54	2.0	1.6	2.4	0.09	53°8'17.5" 23°7'10.9"
3	DPP, budynek biurowy, piętro 2/2, korytarz, okno otwarte, Al. Jana Pawła II 52	2.0	1.5	2.3	0.08	53°8'17.5" 23°7'13.8"
4	DPP, budynek biurowy, piętro 2/2, p.206, okno otwarte, Al. Jana Pawła II 52	2.0	1.3	2	0.07	53°8'17.2" 23°7'13.4"
5	DPP, Stacja kontroli pojazdów, płaszczyzna okna parterowego, ul. Wierzbowa 8	2.0	<b>3.9</b>	5.9	0.21	53°8'19.7" 23°7'14.5"
6	DPP, stacja paliw, płaszczyzna okna parterowego, Al. Jana Pawła II 56	2.0	1.7	2.6	0.09	53°8'17.9" 23°7'8.4"
7	GKP w odległości 13m od anteny sektorowej az. 33°	2.0	1.5	2.3	0.08	53°8'17.9" 23°7'12.7"
8	GKP w odległości 62m od anteny sektorowej az. 33°	2.0	3.6	5.4	0.19	53°8'19.3" 23°7'14.2"
9	GKP w odległości 110m od anteny sektorowej az. 33°	2.0	1.8	2.7	0.1	53°8'20.4" 23°7'15.6"
10	GKP w odległości 15m od anteny sektorowej az. 155°	2.0	1.6	2.4	0.09	53°8'16.8" 23°7'12.4"
11	GKP w odległości 56m od anteny sektorowej az. 155°	2.0	2.4	3.6	0.13	53°8'15.4" 23°7'13.4"
12	GKP w odległości 109m od anteny sektorowej az. 155°	2.0	2.6	3.9	0.14	53°8'13.9" 23°7'14.5"
13	GKP w odległości 22m od anteny radioliniowej az. 212°	2.0	1.8	2.7	0.1	53°8'16.4" 23°7'10.6"

Sprawozdanie z badań bez pisemnej zgody laboratorium nie może być powielane inaczej niż w całości.  
 Wynik przedstawione w niniejszym sprawozdaniu odnoszą się wyłącznie do badanego obiektu i do warunków i konfiguracji urządzeń w dniu wykonywania pomiarów.

14	GKP w odległości 50m od anteny radioliniowej az. 212°	2.0	1.9	2.9	0.1	53°8'15.7" 23°7'9.8"
15	GKP w odległości 52m od anteny radioliniowej az. 223°	2.0	2.2	3.3	0.12	53°8'16.1" 23°7'9.1"
16	GKP w odległości 13m od anteny sektorowej az. 270°	2.0	1.4	2.1	0.08	53°8'17.2" 23°7'10.2"
17	GKP w odległości 50m od anteny sektorowej az. 270°	2.0	2.1	3.2	0.11	53°8'17.2" 23°7'7.7"
18	GKP w odległości 110m od anteny sektorowej az. 270°	2.0	2.4	3.6	0.13	53°8'17.2" 23°7'5.2"
19	PKP na az. 358° w odległości 50m od anteny sektorowej az. 33°	2.0	2.1	3.2	0.11	53°8'19.3" 23°7'12.0"
20	PKP na az. 13° w odległości 45m od anteny sektorowej az. 33°	2.0	2.4	3.6	0.13	53°8'19.0" 23°7'12.7"
21	PKP na az. 26° w odległości 51m od anteny sektorowej az. 33°	2.0	3.1	4.7	0.17	53°8'19.0" 23°7'13.4"
22	PKP na az. 40° w odległości 51m od anteny sektorowej az. 33°	2.0	3.3	5	0.18	53°8'19.0" 23°7'14.2"
23	PKP na az. 53° w odległości 49m od anteny sektorowej az. 33°	2.0	2.8	4.2	0.15	53°8'18.6" 23°7'14.2"
24	PKP na az. 68° w odległości 51m od anteny sektorowej az. 33°	2.0	1.8	2.7	0.1	53°8'18.2" 23°7'14.9"
25	PKP na az. 120° w odległości 51m od anteny sektorowej az. 155°	2.0	2.0	3	0.11	53°8'16.4" 23°7'14.5"
26	PKP na az. 135° w odległości 41m od anteny sektorowej az. 155°	2.0	2.1	3.2	0.11	53°8'16.1" 23°7'13.4"
27	PKP na az. 148° w odległości 34m od anteny sektorowej az. 155°	2.0	2.3	3.5	0.12	53°8'16.1" 23°7'13.1"
28	PKP na az. 162° w odległości 30m od anteny sektorowej az. 155°	2.0	1.8	2.7	0.1	53°8'16.1" 23°7'12.4"
29	PKP na az. 175° w odległości 28m od anteny sektorowej az. 155°	2.0	1.7	2.6	0.09	53°8'16.1" 23°7'12.0"
30	PKP na az. 190° w odległości 29m od anteny sektorowej az. 155°	2.0	1.5	2.3	0.08	53°8'16.1" 23°7'11.6"
31	PKP na az. 235° w odległości 48m od anteny sektorowej az. 270°	2.0	1.9	2.9	0.1	53°8'16.4" 23°7'9.1"
32	PKP na az. 250° w odległości 44m od anteny sektorowej az. 270°	2.0	2.1	3.2	0.11	53°8'16.8" 23°7'8.8"

Sprawozdanie z badań bez pisemnej zgody laboratorium nie może być powielane inaczej niż w całości.  
 Wynik przedstawione w niniejszym sprawozdaniu odnoszą się wyłącznie do badanego obiektu i do warunków i konfiguracji urządzeń w dniu wykonywania pomiarów.

33	PKP na az. 263° w odległości 50m od anteny sektorowej az. 270°	2.0	2.4	3.6	0.13	53°8'17.2" 23°7'8.4"
34	PKP na az. 277° w odległości 50m od anteny sektorowej az. 270°	2.0	1.8	2.7	0.1	53°8'17.5" 23°7'8.4"
35	PKP na az. 290° w odległości 40m od anteny sektorowej az. 270°	2.0	1.7	2.6	0.09	53°8'17.5" 23°7'9.1"
36	PKP na az. 305° w odległości 45m od anteny sektorowej az. 270°	2.0	1.6	2.4	0.09	53°8'17.9" 23°7'9.1"
-	GKP w odległości 252m od anteny sektorowej az. 33°	2.0	1.9	2.9	0.1	53°8'24.4" 23°7'19.6"
-	GKP w odległości 188m od anteny sektorowej az. 155°	2.0	2.2	3.3	0.12	53°8'11.8" 23°7'16.3"
-	GKP w odległości 251m od anteny sektorowej az. 270°	2.0	1.8	2.7	0.1	53°8'17.2" 23°6'57.6"

Pole magnetyczne (wyznaczone na podstawie pomiaru wartości natężenia pola elektrycznego)

Nr pionu	Opis umiejscowienia pionu (punktu pomiarowego)	Wysokość pomiaru [m]	Wartość natężenia pola magnetycznego H [A/m] <sup>2</sup>	Wartość natężenia pola magnetycznego powiększona o niepewność pomiaru <sup>4</sup> H [A/m]	Wskaźnikowa wartość poziomu emisji pól elektromagnetycznych WM <sub>10</sub> <sup>2</sup>	Współrzędne geograficzne pionu (punktu pomiarowego) <sup>2</sup>
1	DPP, hotel, piętro 5/5, korytarz, okno otwarte, Al. Jana Pawła II 54	2.0	0.007	0.01	0.14	53°8'17.2" 23°7'12.7"
2	DPP, hotel, piętro 5/5, korytarz, okno otwarte, Al. Jana Pawła II 54	2.0	0.004	0.006	0.09	53°8'17.5" 23°7'10.9"
3	DPP, budynek biurowy, piętro 2/2, korytarz, okno otwarte, Al. Jana Pawła II 52	2.0	0.004	0.006	0.08	53°8'17.5" 23°7'13.8"
4	DPP, budynek biurowy, piętro 2/2, p.206, okno otwarte, Al. Jana Pawła II 52	2.0	0.003	0.005	0.07	53°8'17.2" 23°7'13.4"
5	DPP, Stacja kontroli pojazdów, płaszczyzna okna parterowego, ul. Wierzbowa 8	2.0	<b>0.010</b>	0.016	0.21	53°8'19.7" 23°7'14.5"
6	DPP, stacja paliw, płaszczyzna okna parterowego, Al. Jana Pawła II 56	2.0	0.005	0.007	0.09	53°8'17.9" 23°7'8.4"
7	GKP w odległości 13m od anteny sektorowej az. 33°	2.0	0.004	0.006	0.08	53°8'17.9" 23°7'12.7"
8	GKP w odległości 62m od anteny sektorowej az. 33°	2.0	0.010	0.014	0.2	53°8'19.3" 23°7'14.2"
9	GKP w odległości 110m od anteny sektorowej az. 33°	2.0	0.005	0.007	0.1	53°8'20.4" 23°7'15.6"
10	GKP w odległości 15m od anteny sektorowej az. 155°	2.0	0.004	0.006	0.09	53°8'16.8" 23°7'12.4"

Sprawozdanie z badań bez pisemnej zgody laboratorium nie może być powielane inaczej niż w całości.  
 Wynik przedstawione w niniejszym sprawozdaniu odnoszą się wyłącznie do badanego obiektu i do warunków i konfiguracji urządzeń w dniu wykonywania pomiarów.

11	GKP w odległości 56m od anteny sektorowej az. 155°	2.0	0.006	0.01	0.13	53°8'15.4" 23°7'13.4"
12	GKP w odległości 109m od anteny sektorowej az. 155°	2.0	0.007	0.01	0.14	53°8'13.9" 23°7'14.5"
13	GKP w odległości 22m od anteny radioliniowej az. 212°	2.0	0.005	0.007	0.1	53°8'16.4" 23°7'10.6"
14	GKP w odległości 50m od anteny radioliniowej az. 212°	2.0	0.005	0.008	0.1	53°8'15.7" 23°7'9.8"
15	GKP w odległości 52m od anteny radioliniowej az. 223°	2.0	0.006	0.009	0.12	53°8'16.1" 23°7'9.1"
16	GKP w odległości 13m od anteny sektorowej az. 270°	2.0	0.004	0.006	0.08	53°8'17.2" 23°7'10.2"
17	GKP w odległości 60m od anteny sektorowej az. 270°	2.0	0.006	0.008	0.11	53°8'17.2" 23°7'7.7"
18	GKP w odległości 110m od anteny sektorowej az. 270°	2.0	0.006	0.01	0.13	53°8'17.2" 23°7'5.2"
19	PKP na az. 358° w odległości 50m od anteny sektorowej az. 33°	2.0	0.006	0.008	0.11	53°8'19.3" 23°7'12.0"
20	PKP na az. 13° w odległości 45m od anteny sektorowej az. 33°	2.0	0.006	0.01	0.13	53°8'19.0" 23°7'12.7"
21	PKP na az. 26° w odległości 51m od anteny sektorowej az. 33°	2.0	0.008	0.012	0.17	53°8'19.0" 23°7'13.4"
22	PKP na az. 40° w odległości 51m od anteny sektorowej az. 33°	2.0	0.009	0.013	0.18	53°8'19.0" 23°7'14.2"
23	PKP na az. 53° w odległości 49m od anteny sektorowej az. 33°	2.0	0.007	0.011	0.15	53°8'18.6" 23°7'14.2"
24	PKP na az. 68° w odległości 51m od anteny sektorowej az. 33°	2.0	0.005	0.007	0.1	53°8'18.2" 23°7'14.9"
25	PKP na az. 120° w odległości 51m od anteny sektorowej az. 155°	2.0	0.005	0.008	0.11	53°8'16.4" 23°7'14.5"
26	PKP na az. 135° w odległości 41m od anteny sektorowej az. 155°	2.0	0.006	0.008	0.11	53°8'16.1" 23°7'13.4"
27	PKP na az. 148° w odległości 34m od anteny sektorowej az. 155°	2.0	0.006	0.009	0.13	53°8'16.1" 23°7'13.1"
28	PKP na az. 162° w odległości 30m od anteny sektorowej az. 155°	2.0	0.005	0.007	0.1	53°8'16.1" 23°7'12.4"
29	PKP na az. 175° w odległości 28m od anteny sektorowej az. 155°	2.0	0.005	0.007	0.09	53°8'16.1" 23°7'12.0"
30	PKP na az. 190° w odległości 29m od anteny sektorowej az. 155°	2.0	0.004	0.006	0.08	53°8'16.1" 23°7'11.6"

Sprawozdanie z badań bez pisemnej zgody laboratorium nie może być powielane inaczej niż w całości.  
 Wynik przedstawione w niniejszym sprawozdaniu odnoszą się wyłącznie do badanego obiektu i do warunków i konfiguracji urządzeń w dniu wykonywania pomiarów.

31	PKP na az. 235° w odległości 48m od anteny sektorowej az. 270°	2.0	0.005	0.008	0.1	53°8'16.4" 23°7'9.1"
32	PKP na az. 250° w odległości 44m od anteny sektorowej az. 270°	2.0	0.006	0.008	0.11	53°8'16.8" 23°7'8.8"
33	PKP na az. 263° w odległości 50m od anteny sektorowej az. 270°	2.0	0.006	0.01	0.13	53°8'17.2" 23°7'8.4"
34	PKP na az. 277° w odległości 50m od anteny sektorowej az. 270°	2.0	0.005	0.007	0.1	53°8'17.5" 23°7'8.4"
35	PKP na az. 290° w odległości 40m od anteny sektorowej az. 270°	2.0	0.005	0.007	0.09	53°8'17.5" 23°7'9.1"
36	PKP na az. 305° w odległości 45m od anteny sektorowej az. 270°	2.0	0.004	0.006	0.09	53°8'17.9" 23°7'9.1"
-	GKP w odległości 252m od anteny sektorowej az. 33°	2.0	0.005	0.008	0.1	53°8'24.4" 23°7'19.6"
-	GKP w odległości 188m od anteny sektorowej az. 155°	2.0	0.006	0.009	0.12	53°8'11.8" 23°7'16.3"
-	GKP w odległości 251m od anteny sektorowej az. 270°	2.0	0.005	0.007	0.1	53°8'17.2" 23°6'57.6"

GKP – Główny Kierunek Pomiarowy

DPP – Dodatkowy Pion Pomiarowy

PKP – Pomocniczy Kierunek Pomiarowy

<sup>1</sup> wyniki oznaczone \* są wynikami poniżej czułości zestawu pomiarowego i są wynikami spoza zakresu akredytacji. Do obliczenia wyniku skorygowanego przyjęto wartość skorelowaną z rzeczywistym wynikiem pomiaru - dolną granicę akredytowanego zakresu pomiarowego metody

<sup>2</sup> współrzędne geograficzne pozyskane metodą pomiaru bezpośredniego

<sup>3</sup> do wyznaczenia wartości wskaźnikowej  $W_{Mz}$  i  $W_{Mh}$  przyjęto na podstawie uzgodnień z klientem oraz rozpoznania źródeł, jako wartości dopuszczalne pola elektrycznego i magnetycznego odpowiednio 28 V/m i 0,073 A/m.

<sup>4</sup> do wyznaczenia niepewności dla wyników poniżej czułości zestawu pomiarowego, przyjęto niepewność dla minimalnej wartości z zakresu pomiarowego.

<sup>5</sup> maksymalna wartość chwilowa

Niepewność oszacowano zgodnie z dokumentem P-03 „Procedura nadzoru nad wyposażeniem” w postaci niepewności rozszerzonej wynikającej z niepewności standardowej pomnożonej przez współczynnik rozszerzenia  $k=2$ .

Całkowita szacowana niepewność rozszerzona składowej E wynosi odpowiednio: 50% dla częstotliwości do 40 GHz

Umiejscowienie pionów (punktów) pomiarowych przedstawiono w załączniku nr 2 do niniejszego sprawozdania.

## 10. Omówienie wyników pomiarów

W związku z tym, że żadna z wartości zmierzonych, udokumentowanych w tabelach w pkt. 9, uzyskanych w skutek zastosowania pomiaru szerokopasmowego, powiększonego o rozszerzoną niepewność pomiaru  $U$  dla współczynnika rozszerzenia  $k = 2$  nie przekroczyła 70% najniższej dopuszczalnej wartości składowej elektrycznej lub magnetycznej pola dla objętych pomiarami zakresów częstotliwości, nie uwzględnia się poprawek pomiarowych.

W wyniku zastosowania sposobu sprawdzenia dotrzymania dopuszczalnych poziomów pól elektromagnetycznych w środowisku, zgodnie pkt 25 ppkt 1 Rozporządzenia Ministra Klimatu z dnia 17 lutego 2020 r. (Dz. U. 2022, poz. 2630), w związku z tym, że żadna z wartości wskaźnikowych, udokumentowanych w tabelach w pkt. 9 nie przekracza wartości 1, stwierdza się, że w miejscach, w których wykonano pomiary w otoczeniu instalacji radiokomunikacyjnej 24312 (96077N!) WBI\_BIALYSTOK\_ALJANAPAWLA54, dopuszczalne poziomy pól elektromagnetycznych w środowisku należy uznać za dotrzymane.

Miejsca niedostępne podczas wykonywania pomiarów wskazane zostały w pkt. 9 (Wyniki pomiarów) lub na załączniku przedstawiającym usytuowanie pionów pomiarowych.

## 11. Podstawa prawna

- 1) Ustawa z dnia 27 kwietnia 2001 r. Prawo ochrony środowiska (Dz.U. 2022 poz. 2556)
- 2) Rozporządzenie Ministra Zdrowia z dnia 17 grudnia 2019 r. w sprawie dopuszczalnych poziomów pól elektromagnetycznych w środowisku (Dz. U. 2019, poz. 2448)
- 3) Rozporządzenie Ministra Klimatu z dnia 17 lutego 2020 r. w sprawie sposobów sprawdzania dotrzymania dopuszczalnych poziomów pól elektromagnetycznych w środowisku (Dz. U. 2022, poz. 2630),
- 4) Akredytacja nr AB 419 wydana przez Polskie Centrum Akredytacji (wydanie 22, z dnia 9 stycznia 2024 r.)

## 12. Spis załączników

- Załącznik 1. Lokalizacja obiektu badań
- Załącznik 2. Usytuowanie pionów (punktów) pomiarowych
- Załącznik 3. Dokumentacja fotograficzna obiektu badań

## 13. Data wydania i autoryzowania sprawozdania

Obliczenia i sprawozdanie wykonał :



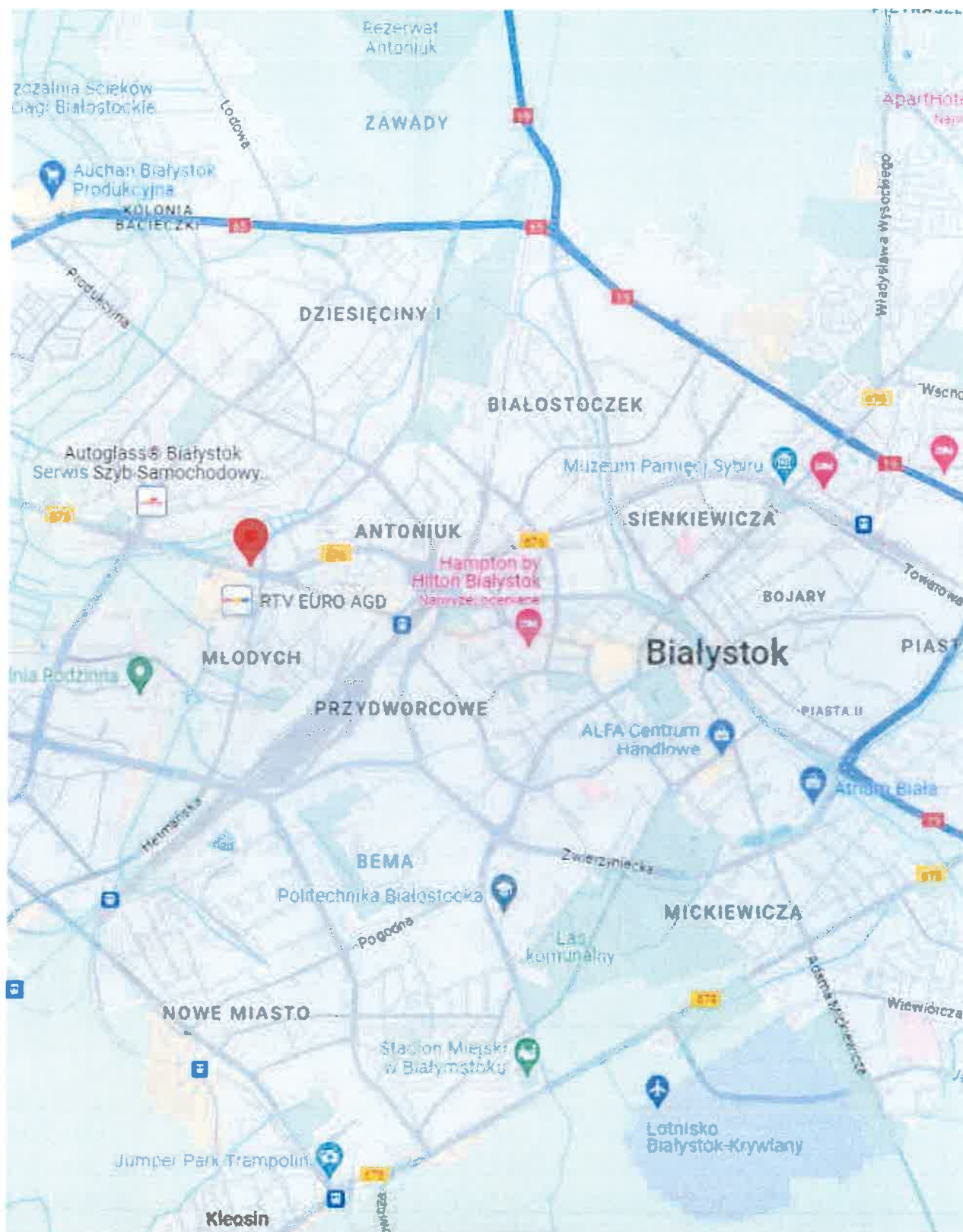
Sprawozdanie autoryzował:



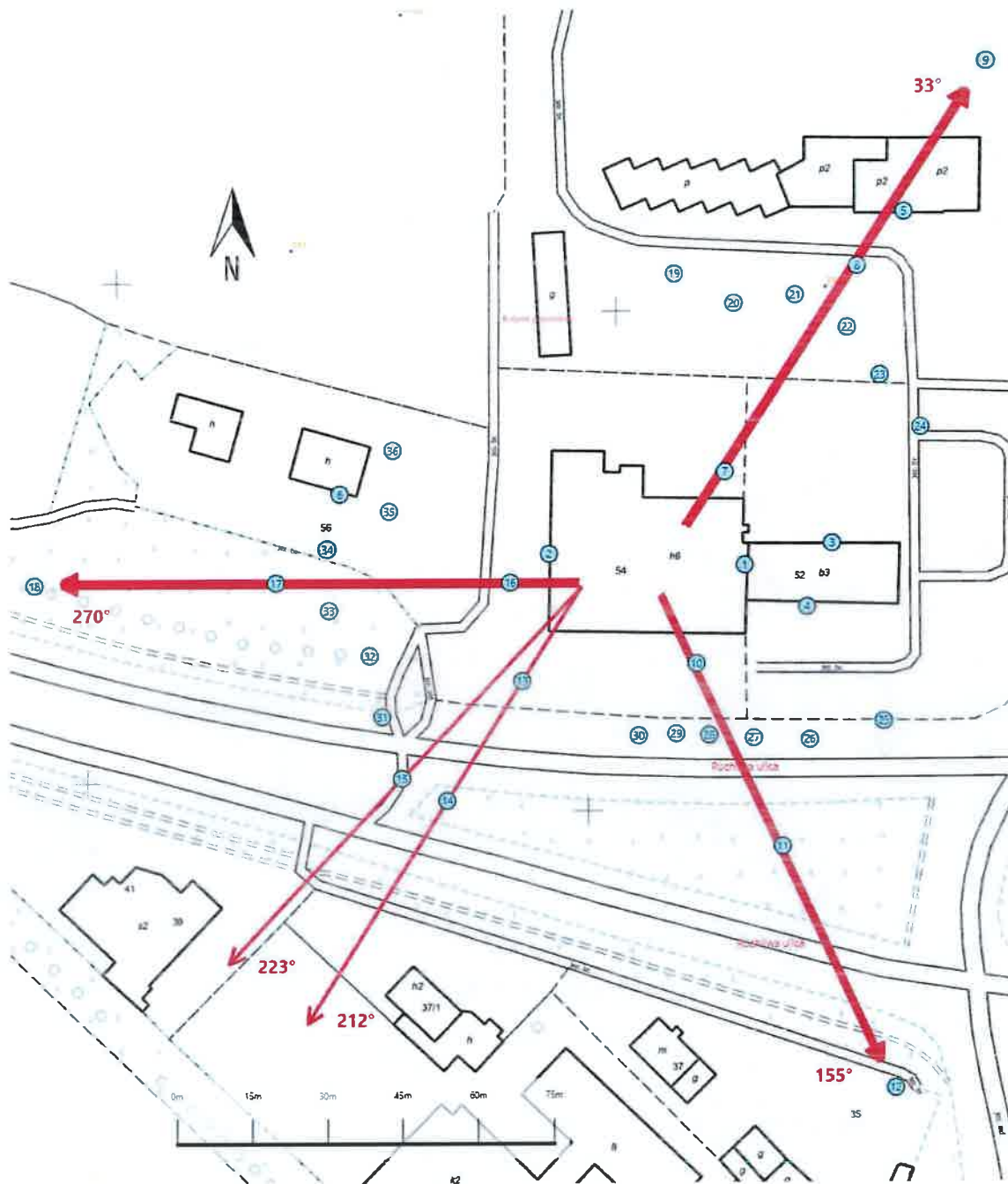
**Koniec sprawozdania**













Sprawozdanie z badań bez pisemnej zgody laboratorium nie może być powielane inaczej niż w całości.  
Wynik przedstawione w niniejszym sprawozdaniu odnoszą się wyłącznie do badanego obiektu i do warunków i konfiguracji urządzeń w dniu wykonywania pomiarów.





Załącznik nr 1	Instalacja radiokomunikacyjna T-Mobile Polska S.A. (96077N!) WBI_BIALYSTOK_ALJANAPAWLA54 Lokalizacja instalacji
----------------	---



<p>Załącznik nr 2</p>	<p style="text-align: center;"><b>Instalacja radiokomunikacyjna T-Mobile Polska S.A.</b>  <b>WBI_BIALYSTOK_ALJANAPAWLA54 (96077N!)</b>                  Usytuowanie pionów pomiarowych w otoczeniu instalacji radiokomunikacyjnej</p>				
<p>Legenda:</p>	<table style="width: 100%; border: none;"> <tr> <td style="text-align: center; width: 25%;">                       Brak dostępu                 </td> <td style="text-align: center; width: 25%;">                       Pion pomiarowy                 </td> <td style="text-align: center; width: 25%;">                       Kierunek oddziaływania anten sektorowych                 </td> <td style="text-align: center; width: 25%;">                       Kierunek oddziaływania anten radioliniowych                 </td> </tr> </table>	 Brak dostępu	 Pion pomiarowy	 Kierunek oddziaływania anten sektorowych	 Kierunek oddziaływania anten radioliniowych
 Brak dostępu	 Pion pomiarowy	 Kierunek oddziaływania anten sektorowych	 Kierunek oddziaływania anten radioliniowych		





Załącznik nr 3

Instalacja radiokomunikacyjna T-Mobile Polska S.A.  
(96077N!) WBI\_BIALYSTOK\_ALJANAPAWLA54

Dokumentacja fotograficzna